

Weber-Fechner-Gesetz in CIE 230-2019 für Schwellen-Verhalten von Kipferfarben
 Die Weber-Fechner-Gesetz Helligkeit F^* ist eine logarithmische Funktion von L . Die Stevens-Gesetz Helligkeit $L_{rel, 0}$ ist eine Potenzfunktion von L .
 Bei 4900-5100 nm ist die spektrale Photostimulation L_{sp} ca. $2 \cdot 10^{-10}$ W/m².
 Das Weber-Fechner-Gesetz ist äquivalent zur linearen Gleichung: $\Delta L_{sp} \propto \Delta L$.
 Integration über das spektrale Helligkeits L_{sp} (4900-5100 nm) liefert zur linearen Gleichung: $L_{sp} \propto L$.
 Die Farben im Bild ist der Normkontrastbereich 25:1-90:3.6
 Tabelle 1: Normwert L_{sp} , Leuchtdichte L und Helligkeit F^*

Farbe	Normwert	Stimulus-Leuchtdichte L_{sp} [cd/m ²]	relative Leuchtdichte $L_{rel, 0}$ [cd/m ²]	CIE Helligkeit F^* [cd/m ²]	relative Helligkeit $F^*/F^*(L_{sp})$
Konstant	25:1-90:3.6	0.02	0.02	0.02	1
Weiß W	1:195	1.95	1.95	1.95	1.00(5)
Grün G	18	28.2	1.41	50	1.00(1)
Schwarz N	0.4	0.4	0.2	18	1.00(2)
Purpur P	1:195	1.95	1.95	1.95	1.00(5)

Die Helligkeitsunterschiede zwischen $L_{sp} = 0.02$ und 40 ist die Konstante 1:40 Helligkeit: 5:1
 CGA50-2N

Weber-Fechner-Gesetz in CIE 230-2019 für Schwellen-Verhalten von Kipferfarben und zwei Bereiche $0.2 < L_{sp} < 1$ und $1 < L_{sp} < 5$
 Die Weber-Fechner-Gesetz Helligkeit F^* ist eine logarithmische Funktion von L . Die Stevens-Gesetz Helligkeit $L_{rel, 0}$ ist eine Potenzfunktion von L .
 Bei 4900-5100 nm ist die spektrale Photostimulation L_{sp} ca. $2 \cdot 10^{-10}$ W/m².
 Das Weber-Fechner-Gesetz ist äquivalent zur linearen Gleichung: $\Delta L_{sp} \propto \Delta L$.
 Integration über das spektrale Helligkeits L_{sp} (4900-5100 nm) liefert zur linearen Gleichung: $L_{sp} \propto L$.
 Die Farben im Bild ist der Normkontrastbereich 25:1-90:3.6
 Tabelle 1: Normwert L_{sp} , Leuchtdichte L und Helligkeit F^*

Farbe	Normwert	Stimulus-Leuchtdichte L_{sp} [cd/m ²]	relative Leuchtdichte $L_{rel, 0}$ [cd/m ²]	CIE Helligkeit F^* [cd/m ²]	relative Helligkeit $F^*/F^*(L_{sp})$
Konstant	25:1-90:3.6	0.02	0.02	0.02	1
Weiß W	1:195	1.95	1.95	1.95	1.00(5)
Grün G	18	28.2	1.41	50	1.00(1)
Schwarz N	0.4	0.4	0.2	18	1.00(2)
Purpur P	1:195	1.95	1.95	1.95	1.00(5)

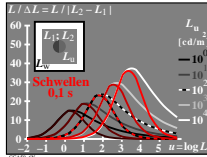
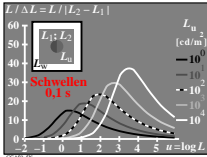
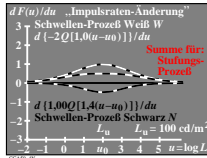
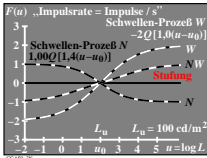
Die zwei Helligkeitsbereiche gibt $k_0 = 50 \log(2/0.2) = 46$ und $k_1 = 44 \log(5/1) = 63$.
 CGA50-2N

Linien-Element von Stiles (1946) mit „Farbweber“ L_P, M_D, S_T
 Drei separate Farb-Signalfunktionen
 $F(L_P) = i \ln(1 + 9 L_P)$
 $F(M_D) = j \ln(1 + 9 M_D)$
 $F(S_T) = k \ln(1 + 9 S_T)$
Taylor-Abbildungen:
 $\Delta F(L_P, M_D, S_T) \approx \frac{dF}{dL_P} \Delta L_P + \frac{dF}{dM_D} \Delta M_D + \frac{dF}{dS_T} \Delta S_T$
 $= \frac{9i}{1+9L_P} \Delta L_P + \frac{9j}{1+9M_D} \Delta M_D + \frac{9k}{1+9S_T} \Delta S_T$

Funktionen $q[k(u-u_0)]$ zur „unbuntsignal“-Beschreibung mit
 mit $u = \log L$ ($L =$ Leuchtdichte)
 $u_0 = \log L_0$ ($L_0 =$ Umfeld-Leuchtdichte)
 $q[k(u-u_0)] = 1 + 1/[1 + \sqrt{2} e^{k(u-u_0)}]$
Funktionswerte:
 $q[k(u-u_0) \rightarrow +\infty] = 1$
 $q[k(u-u_0) = 0] = \sqrt{2}$
 $q[k(u-u_0) \rightarrow -\infty] = 2$

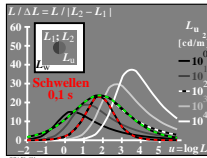
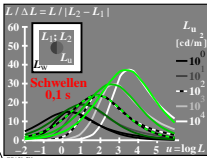
Linien-Element von Vos & Walraven (1972) mit „Farbweber“ L_P, M_D, S_T
 Drei separate Farb-Signalfunktionen
 $F(L_P) = -2\sqrt{2} \ln L_P$
 $F(M_D) = -2\sqrt{2} \ln M_D$
 $F(S_T) = -2\sqrt{2} \ln S_T$
Taylor-Abbildungen:
 $\Delta F(L_P, M_D, S_T) \approx \frac{dF}{dL_P} \Delta L_P + \frac{dF}{dM_D} \Delta M_D + \frac{dF}{dS_T} \Delta S_T$
 $\Delta F(L_P, M_D, S_T) = \frac{2\sqrt{2}}{L_P} \Delta L_P + \frac{2\sqrt{2}}{M_D} \Delta M_D + \frac{2\sqrt{2}}{S_T} \Delta S_T$

„Unbuntsignal“-Beschreibung mit Funktionen $Q_{1m}[k(u-u_0)]$
 mit $u = \log L$ ($L =$ Leuchtdichte)
 $u_0 = \log L_0$ ($L_0 =$ Umfeld-Leuchtdichte)
 $Q_{1m}[k(u-u_0)] = \frac{1}{\ln \sqrt{2}} \ln q[k(u-u_0)] - m$
Funktionswerte mit $l = m = 1$:
 $Q[k(u-u_0) \rightarrow +\infty] = -1$
 $Q[k(u-u_0) = 0] = 0$
 $Q[k(u-u_0) \rightarrow -\infty] = 1$



Unbuntsignal“-Unterscheidung als Funktion der relativen Helligkeit
 $h = \ln H = k(u-u_0)$, $\ln =$ natürl. Log.
 $Q' = \frac{dH}{dH} \frac{1}{H} [1 + 1/(1 + \sqrt{2} H)] / \ln \sqrt{2}$
 $= -\sqrt{2} / (\ln \sqrt{2} (1 + \sqrt{2} H) (2 + \sqrt{2} H))$
Funktionswerte:
 $Q'[k(u-u_0) \rightarrow +\infty] = 0$
 $Q'[k(u-u_0) = 0] = -0,5$
 $Q'[k(u-u_0) \rightarrow -\infty] = 0$

Leuchtdichte-Unterscheidungsvermögen $L/\Delta L$ als Funktion von H
 mit: $L = 10^H$, $H = \epsilon \log e$, $\log e = k(u-u_0)$
 $dL/dL = \ln 10 L$, $dH/dL = k/H$
 E_S folgt: $L/\Delta L = [kH / (dH \ln 10)]$
 $\frac{dL}{L} = \text{const } H / (1 + \sqrt{2} H) (2 + \sqrt{2} H)$
 $\frac{dL}{L} = \frac{dH}{H} \frac{1}{1 + \sqrt{2} H} \frac{1}{2 + \sqrt{2} H}$
Funktionswerte mit $l = m = 1$:
 $Q'[k(u-u_0) \rightarrow +\infty] = 0$
 $Q'[k(u-u_0) = 0] = \text{Maximum}$
 $Q'[k(u-u_0) \rightarrow -\infty] = 0$



Doppel-Linienelement von Richter (1987) für die Lichttechnik mit der Leuchtdichte $L = F(L_P, M_D, S_T)$
 $F(L) = \int_{L_0}^L (L/\Delta L) dL$ (relative L, M, S^2)
 $F(L) = i Q(H) + \int_{i Q(H)}^L (H/\Delta H) dH$ (relative L, M, S^2)
 $Q(H) = \ln(1 + 1/(1 + \sqrt{2} H)) / \ln \sqrt{2} - 1$
Taylor-Abbildungen:
 $\Delta F(L) = \frac{dF}{dL} \Delta L = i \frac{dQ}{dH} \Delta H$
 $H = e^{k(u-u_0)}$, $H = e^{k(u-u_0)}$, $H = e^{k(u-u_0)}$

Doppel-Linienelement von Richter (1987) für die Lichttechnik mit der Leuchtdichte $L = F(L_P, M_D, S_T)$
 $F(L) = \int_{L_0}^L (L/\Delta L) dL$ (relative L, M, S^2)
 $F(L) = i Q(H) + \int_{i Q(H)}^L (H/\Delta H) dH$ (relative L, M, S^2)
 $Q(H) = \ln(1 + 1/(1 + \sqrt{2} H)) / \ln \sqrt{2} - 1$
Taylor-Abbildungen:
 $\Delta F(L) = \frac{dF}{dL} \Delta L = i \frac{dQ}{dH} \Delta H$
 $H = e^{k(u-u_0)}$, $H = e^{k(u-u_0)}$, $H = e^{k(u-u_0)}$

Siehe ähnliche Dateien: http://farbe.li.tu-berlin.de/CGA5/CGA5L0N1.TXT /PS
 Technische Information: http://farbe.li.tu-berlin.de/ oder http://30.149.60.45/~farbnetrik

TUB-Registrierung: 20201101-CGA5/CGA5L0N1.TXT /PS
 Anwendung für Bereitstellung und Messung von Display- oder Druck-Ausgabe
 TUB-Material: Code=ha4ta